

九大 工学部

正 寛 勝 重一郎

九大 工学部大学院

学生員〇古本 勝弘

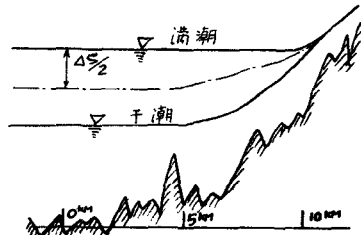
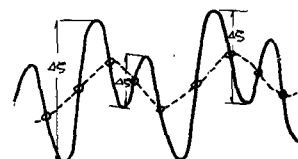
大分臨海工業地帯に於いて使用される工業用水の確保は大野川を主水源として計画され、造成が進むにつれ必要用水量も増大していく。従って現取水地盤に於いて塩分の侵入が「安定化収容水か」との程度で可能であるかという問題や需要量の増加に応じて適当な取水地盤の選定、或いは上流地盤の取水により濁化されてしまう塩分濃度の状況等を推定するに、大分県工業用水局にて例年、規模の大きい塩分観測を実施している。これらの観測のうち昭和40年7月～8月にかけて行はれた長期に亘る塩分の連続観測資料については、鳴らし現象が解析し大野川の塩分侵入形態が上げ、1時～14時には強混合型に近く、下け14時には海水模倣であることをはじめ、潮汐及び流量に対する塩分の定性的な応答に関する詳しい報告を行っている。次いで昨年夏常な干天続きにおける湯水である機会に塩分侵入機構を把握するため大野川各地盤に於いて躍層を中心とする塩分鉛直分布の性状について詳しい調査観測を行った。資料は今後整理検討中であるが、中間報告的に大野川に於ける塩分侵入の性状とその機構について若干の考察を加えてみたい。

1.) 大野川の潮汐と入退潮量

河川に於ける塩分の侵入、逆上は河道を媒介として、主として、上流よりの河川流量及び外海の潮汐によって規定される。塩分観測と併行して行はれた水位観測及び自記量水標記録によると、夏期における大野川の潮汐振動は1日2回潮であろうか、月齢に応じて顕著な日潮不等を示し、各潮平均潮位Hと一日一回の周期で昇降である。

大野川では干満の潮位差を ΔS とす
ると、大潮、小潮に於いてH及び ΔS は右
に示す程度である。

	H (m)	ΔS (m)
大潮	0.18	2.0～2.2
	0.44	1.3～1.5
小潮	0.28	1.0
	0.25	0.7



次に満干潮時に於ける同時水位をmodel的に書くと、右図の様であり、(1) 満潮時の水位形状は高潮限界地盤(大潮時10.5km、小潮時10km程度)まで殆んど水平である。(2) 干潮時の水面形状は5km地盤まで、田舎と水平で、それより上流で順次勾配を増し河床勾配に近づく。大野川では8km地盤より上流を除くと、時間的な位相のズレや潮汐への変形は殆んど認められないので、塩分侵入範囲である0kmから8km区間の入退潮量を推定するには、水位は平均潮位を中心とし $(\Delta S/2) \cos \omega t$ の形で振動するとしても大きな誤差は生じない。従つて、連続式 $(\partial A / \partial x) + (\partial Q / \partial x) = 0$ を差分式に直し、高潮限界地盤より次式。

$$\begin{aligned} Q_i - Q_0 &= -\Delta x_i \left(\frac{\Delta S}{\Delta x}\right)_i \cdot B_i(S) \\ Q_i - Q_{i-1} &= -\Delta x_i \left(\frac{\Delta S}{\Delta x}\right)_i \cdot B_i(S) \\ &\dots \end{aligned} \quad \} \quad (1)$$

によつて各地盤の潮流量 $Q_t = |Q_{t+max}| \sin \omega t$ ($Q = Q_t + Q_0$) を計算し、潮流量振幅 $|Q_{t+max}|$ と外海の潮汐($\Delta S/2$)に対するプロットしたものが図-1である。

2) 濃度侵入の性状

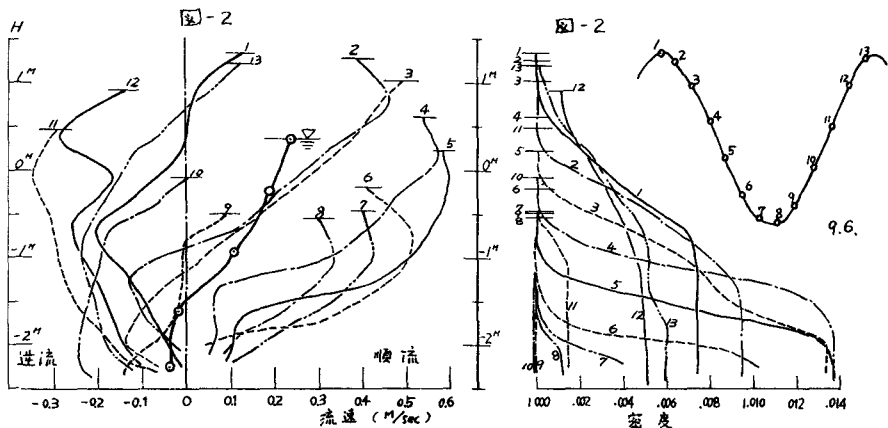
2.1) 濃度及u 流速の鉛直分布

図-2 13 満干潮満にかけて 5km, 6km 地点に於いて測定した流速分布と濃度分布の時間的変化を示したもの、一例である。又 図-3 13 満潮時及び干潮時における濃度分布を各地点について示したものである。

(I) 満潮停滞時(番号1)に於いて、表層で弱い順流であるが中層部より下にかなりの強さの逆流が存在し所謂 exchange flow の形成される。満潮を過ぎると表層の順流が卓越し底層部の逆流は2時間程度遅れて順流に変化する。(23)

濃度の鉛直分布は中層部より

表層にかけて、Y 方向に一様な濃度分布の層の上に ds/dy の大きさの混合領域が形成される。
上述の流速分布に対する満潮後には表層濃度 S_s は急減し、底面濃度 S_b は2

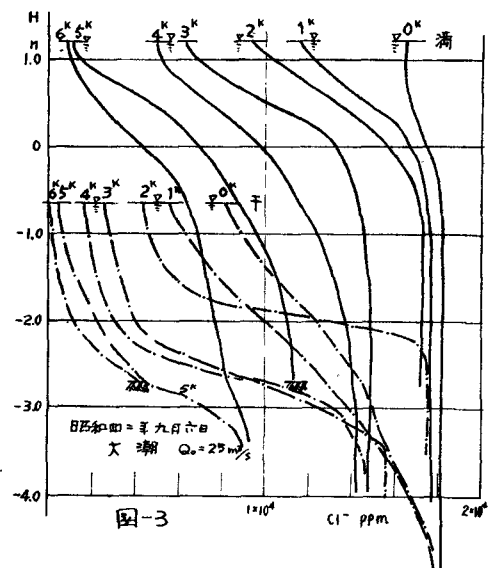


時間経過遅れて最大値に達する。

(II) 引き潮の盛期(4 5 6 7)では、濃度分布には顕著な躍層が存在し濃度は $S_s = \text{const.}$ の上層と $S_b = \text{const.}$ の下層の間に ds/dy の非常に大きい躍層との三つに分けられる。この時期の濃度分布は底層の順流速度が小さくて一般に速い勾配 du/dy が大きい。又躍層の位置と $(du/dy)_{\max}$ の位置とは一致していることか"特徴的"である。

(III) 干潮停滞時より上り潮にかけて(9~13)では、底面附近に逆流が現われ逆流範囲が上方に波及すると共にその速度分布は、下り潮時に比べて一様化される。この時期の濃度分布は逆流による塩分と淡水との衝突・混合のために大きな乱れが発生し、 ds/dy の値は満潮時下り潮時に較べるとかなり小さくなる。

(IV) $Y_h = 1$ (水面) 0.75 0.50 0.25, 0 (底層) に於ける流速の時間的変化をプロットし各層に於ける一週期間の平均流速を求めたものが 図-2 中に太線(—○—)で記入してある。底面に逆流領域が存在し大野川の流れを平均的に見ると、水平方向の密度差によると推測



潮汐形成されていることがわかる。

(V) 水平方向の密度勾配を考慮した場合の運動方程式は 剪断力をとして、

$$\rho \frac{D u}{D t} = \rho g \left[\left(i - \frac{\partial h}{\partial x} \right) - \int_y^h \frac{1}{\rho} \frac{\partial p}{\partial x} dy \right] + \frac{\partial \tau}{\partial y} \quad (2)$$

$$\begin{aligned} \tau \text{ の分布は } \tau &= \rho g \int_y^h I_0 dy - \int_y^h \rho \frac{D u}{D t} dy \\ I_* &= I - I_p \quad - I_p = \int_y^h \frac{1}{\rho} \frac{\partial p}{\partial x} dy \end{aligned} \quad \left. \right\} \quad (3)$$

とえられる。ここで I は水頭勾配である。上式を解くことは極めて困難であるが、上述した流速分布の特性として、上り潮下行潮時に I_p は正の値をもち、かつ底層ほど大きいことから定性的には理解できる。

2.2) 等濃度曲線と潮汐による移動

42年8月31日 ($Q_o = 20 \text{ t/m}$, 小潮, 干一満), 9月6日 ($Q_o = 25 \text{ t/m}$, 大潮, 満干一満) における Cl^- 濃度が $10^4, 5 \times 10^3 \text{ ppm}$ の等濃度曲線を一時間毎に河床の最深部と共に図-4, 図-5 に示す。

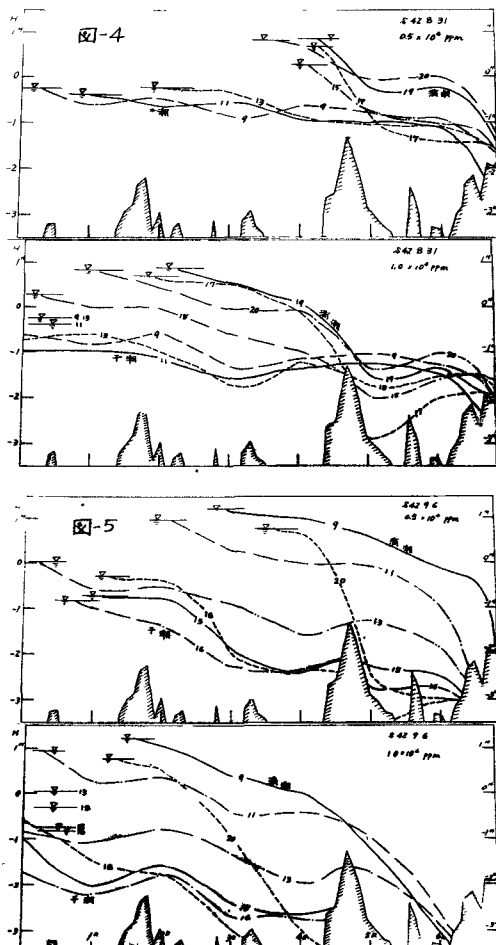
3. 濃度の基礎式は次式

$$(\partial S / \partial t) + V \cdot \nabla S = D_s (\partial^2 S / \partial y^2) \quad \dots (4)$$

とえられるが、躍層の中心（大野川では、大野路 25 $\times 10^3 \text{ ppm}$ に相当）では $(\partial S / \partial y^2)$ は小さく、従って、一潮汐間に於ける $5 \times 10^3, 10^4 \text{ ppm}$ の等濃度曲線の移動は、流速 V ($u, v = U_h + \int_y^S (\partial y / \partial x) dy = \partial S / \partial t + \int_y^S (\partial y / \partial x) dy$) と連れて見做しても良い。一般に、① $|U|$ の値は、水表面の $|\partial S / \partial t|$ より深さとともに減少し、河床で $v = 0$ となること。

② 潮流の量の振幅 $|Q_{tmax}|$ が図-1 に示す様に上流側に、かなり急速に減小する、ことに伴い、下げ潮時には前述した様に上方の順流が大きく、下方で小さいことなどのために下げ潮に伴て等濃度曲線は、勾配を減じて、塩水楔型を呈するとかわかる。又、上げ潮時には②の要因の他に、外海からの塩分輸送、拡散が加わることで勾配を増し、大潮時には強混合に近くなる。

次に、等濃度曲線が河床を切り、海上限界点は主として流量に規定される平衡点の周囲を潮汐に応じて、周期的に前進後退を繰り返していく。明らかに、低濃度曲線の海上限界点は、その平衡位置より上流にあり、 $|Q_{tmax}| / Q_o$ が小さくなる、潮汐による動きは、少ない。又、大野川では、河床最深部形状特に 4.6 KM と 6.8 KM 地点の変起が、塩分侵入を抑制する



意味で重要な役割を持っている。図-4,5で等濃度曲線はこの二つの突起に集中する傾向があり、特に、4.6 KM處の突起は下流の等濃度曲線がこの突起を越えて遙い處水の侵入を遮断し、その後、突起を越えて海水の斜面に沿って滑り落ちるので、兩突起間のアーチを立てて行く。従って、この区間の海水の動きは、0~4 KMの動きとはかなり異ったものであろう。

図-6

3) 濃度の縦断分布

$$\text{一次元の拡散方程式} \quad \frac{\partial(QS)}{\partial t} + \frac{\partial(QS)}{\partial x} = \frac{\partial}{\partial x}(EA \frac{\partial S}{\partial x}) \quad (5)$$

を潮流の一周期について積分すると Q, S の平均は下図の様であるから Q, S で置き換えると QS の値は 17. Cross term が発生する。この項を拡散形式で書き、 $E_x A \cdot (\partial S / \partial x)$

$$とすると \bar{S} は \quad -\frac{Q_0}{A} \bar{S} = (E_x + E'_x) \frac{\partial \bar{S}}{\partial x} \quad (6)$$

となる。一方 40 年 8 月 & 42 年 8 月 ~ 9 月観測の資料から流量毎に満潮時の \bar{S} を縦断的にプロットしたものと図-6 に示す。図-6 と (6) 式とから逆算して $(E_x + E'_x)$ の値を s に対してプロットすると図-7 の様になる。この値は密度差を伴つれば普通の開水路流れの水平拡散係数 E_x $= 4.5 h u \sqrt{f}$ の 10^2 倍を超えた値である。その理由は逆流を伴う大きい速さ勾配の存在及び安定な密度場に於ける E_x の減少による E_x' の増加と、ともに E_x' が大きな値をもつためである。

以上の要因は主として、X 方向の密度勾配による力に基づくものであるから、mean flow に関する Energy 方程式

$$\rho \frac{D^2 \bar{S}}{Dt^2} = \rho g I_s u + u \frac{\partial}{\partial y} \quad (7)$$

を一周期について平均して右辺第一項

$$\rho J_x = u \cdot \rho g I_s \approx \rho g \int_y^h |\partial \bar{S} / \partial x| dy \cdot u \approx \rho g h |\partial \bar{S} / \partial x| u \approx \rho g h s / L$$

と第二項の Energy dissipation $\rho G = u (\partial \bar{S} / \partial x) \approx \rho u f^2 / h$ との比を併せて考えると考らられる。

後者の表示は Harleman のハーラーマンと一致するので、

$$\text{Harleman} (= \text{ハーラーマン}) \quad (E_x + E'_x) / E_x \approx (J/G)^m \quad (8)$$

ここで m の値に対する彼は Delaware River について $m = 3/4$ を与えている。Ippen & Harleman の実験から $m = 1/2$ 程度であるから実測結果から適当な値を決めるものとしておこう。図-6(8)(9) X=0 S=S₀ とおくと S の分布は次式で表わされる。

$$1 - (S/S_0)^m = \frac{m}{S_0^m \alpha} \int_0^x \frac{(Q_0/A)^{1-m}}{h^{1-m} (g h/L)^m} dx \quad (9)$$

大野川 0 KM を原点に取り近似的に $A = A_0 e^{-\beta x}$ ($A_0 = 1,050 \text{ m}^2, \beta = 2.07 \times 10^{-4}$) で表示され h, L は 13 と Const. である。G は (7) の形に變向があるので、 $-\beta$ は Const. とし、これらを取めて係数 K_m とおくと濃度分布は

$$1 - (S/S_0)^m = Q_0^{1-m} \cdot K_m \cdot [e^{\beta(1-m)x} - 1] \quad (10)$$

逆上限界 x_* は

$$x_* = 2.3 [\beta(1-m)]^{-1} \log_{10} \left\{ (1 + K_m Q_0^{1-m} \times K_m Q_0^{1-m})^{-1} \right\} \quad (11)$$

$m = 3/4, K_m = 0.88$ として、計算した結果を図-6 中に実線で示した。 Q_0 と x_* の関係は、かなり妥当の様である。河口附近の拡散係数が過少である。今後検討の余地が多い。

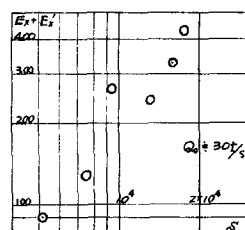
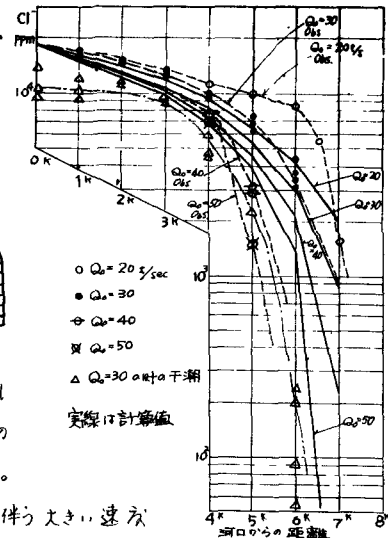


図-7